

DAFTAR PUSTAKA

- Abdullah, R., Setyawan, A., & Djumari. (2018) Kajian Petrografi Agregat Terhadap Stabilitas Marshall Campuran Laston.*e-jurnal matrikst teknik sipil.* 412.
- Anam, C., Sirojudin., & Firdausi, K.S. (2007) Analisis Gugus Fungsi Pada Sampel Uji, Bensin Dan Spiritus Menggunakan Metode Spektroskopi FTIR, *Berkala Fisika*, **10(1)**. 79-85.
- Andreas, A. & Putra, A. (2018). Perbandingan Karakteristik Batuan Beku Erupsi Gunung Gamalama dan Gunung Talang. *Jurnal Fisika Unand*, **7(4)**, 2302-8491.
- Ariansyah, M. R., Anas, N. A., Sari, N. R., & Pahlevi, M. R. (2019) Karakteristik Dan Genesa Sampel Mineral Di Daerah Sapaya Menggunakan Metode Megaskopis. *Jurnal Geocelebes*. **3(1)** 38-41.
- Azhari & Muchtar A. (2016). Sintesis Dan Karakterisasi Material Berpori Berbasis Mineral Silika Pulau Belitung. *Jurnal Teknologi Mineral dan Batubara*. **12(3)**, 161-170.
- Bakruddina., Sihombinga, A. R., & Jalilbu, Z. (2020) The Study Of The Mineral Composition In The Granite Rocks In The Village Of Lhok Pawoh, South Aceh District. *Jurnal Inovasi Teknologi dan Rekayasa*, **5(2)** 80-84.
- Bemmelen, van R.W., (1949). The Geology of Indonesia. Vol. I A. General Geology Of Indonesia And Adjacent Archipelagoes. Government Printing Office. The Hague. Netherlands.
- Ermawati, R., Naimah, S., & Ratnawatii, E. (2011) Monitoring dan Ekstraksi TiO₂ dari Pasir Mineral. *Jurnal Kimia Kemasan* 33(2).
- Fitri, D. B., Hidayat, DI. B., & Subandrio, DI. A. S. DG. (2017) Classification of Sedimentar Rocks Based on Texture Using Gray Level Co-occurrence Matrix Method and K-NN. *E-proceeding of engineering*, **4(2)**2638.

- Hadi, S., Munasir., & Triwikantoro. (2011) “Sintesis Silika Berbasis Pasir Alam Bancar Menggunakan Metode Kopresipitasi, *Jurnal Fisika dan Aplikasinya”* *Fisika ITS 7(2)* 2-4.
- Hardyanti, I. S., Nurani, I., Dyan, S. H. HP., Evalisa, A., & Emas, A. P. W. (2017) “Pemanfaatan Silika (SiO_2) dan Bentonit sebagai Adsorben Logam Berat Fe pada Limbah Batik” *Jurnal Sains Terapan 3(2)* 37-42.
- Hasria., Asfar, S., Adriyansyah., Masri., Muliddin., Arisona., Firman, A., Okto, A., & Jaya, L., M., G. (2021) Fasies Batuan Metamorf Daerah Wumbubangka, Kecamatan Rarowatu Utara, Kabupaten Bombana, Provinsi Sulawesi Tenggara, *Jurnal Geomine, 9(1)* 55-64.
- Islamiyati, A. D., & Abram, P. H. (2020). Analisis Kadar Kalsium Oksida (Cao) pada Batu Karang di Daerah Pesisir Bayang Dampelas Donggala. *Media Eksakta, 16(1)*, 57-62.
- Jamaluddin., Darwis. A., & Massinai. M. A., (2018). X-Ray Fluorescence (XRF) to Identify Chemical Analysis of Minerals In Buton Island, SE Sulawesi, Indonesia. *IOP Publhising*. 1755-1315.
- Jamaludin, A. & Adiantoro, D. (2012). Analisis Kerusakan XRF (*x-ray fluorescence*). *Pusat Teknologi Bahan Bakar Nuklir – BATAN*.1979-2409.
- Joni & Ariyanto. (2021) Identifikasi Kandungan Mineral Pasir pada Tempat Wisata Pantai di Kabupaten Sampang Melalui Fluoresensi Sinar-X dan Pengujian Difraksi Sinar-X. *Jurnal Ilmu Fisika. 13(1)*, 26-33.
- Lestari. L., Malino. M.B., & Lapanporo. B. P., (2017) Analisis Mekanisme Interaksi antara Asam Klorida dengan Senyawa Rb_2O , K_2O , CaO dan P_2O_5 dalam Abu Kerak Boiler Berdasarkan Tinjauan Beda Energi Potensial Orbital. *PRISMA FISIKA. 5(3)*, 88-93.
- Masrukan & Rosika K. (2008). Perbandingan Hasil Analisis Bahan Bakar U-Zr Dengan Menggunakan Teknik XRF dan SSA. *Jurnal BATAN. 14(1)*.
- Masrukan., Rosika., Anggriani, D., & Kisworo, J. (2007). Studi Komparasi Hasil Analisis Komposisi Paduan Almgsi2 Dengan Menggunakan Teknik X - Ray Fluorocency (Xrf) Dan Emission Spectroscopy. *Jurnal Batan Pusat Teknologi Bahan Bakar Nuklir. 13(3)*.

- Metungku, A. N., Darwis, D., & Sesa, E. (2017) Pemurniaan Dan Karakterisasi Senyawa SiO₂ Berbasis Pasir Kuarsa dari Desa Pendolo Kecamatan Pamona Selatan Kabupaten Pos. *Gravitasi* **16(1)**. 1412-2375.
- Muhammad. A. M., Muh. R. S. & Muhammad. F. I. M., (2019). Characteristics of Rock Minerals of the Camba Formation. Department of Geophysics. Makassar.
- Munasir., Triwikanoro., Zainuri, M., & Darminto. (2012) Uji XRD dan XRF pada Bahan Mineral (Batuan dan Pasir) Sebagai Sumber Material Cerdas (CaCO₃ Dan SiO₂). *Jurnal Penelitian Fisika dan Aplikasinya* **2(1)**, 20-29.
- Nirwana., Alimuddin., & Erwin., (2018), Pembuatan dan Pemanfaatan Silika dari Pasir Pantai sebagai Bahan Pemucat untuk Menurunkan Kadar Asam Lemak Bebas pada CPO (*Crude Palm Oil*). *Prosiding Seminar Kimia FMIPA UNMUL*.
- Nisah. K., (2016) Ekstraksi Alumina Oksida (Al₂O₃) dari Tanah Liat dengan Variabel Suhu dan Konsentrasi Asam Sulfat. *Lantanida Journal*. **4(1)**.
- Octova, A., Gusman, M., P, R., Putra, R., & Putra, A. (2020). Modeling of Aquifer Using Vertical Electrical Sounding Data with Kriging Interpolation in Padang City. *Journal of Physics*.
- Pramono, G. (2008). Akurasi Metode IDW dan Kriging untuk Interpolasi Sebaran Sedimen Tersuspensi di Maros, Sulawesi Selatan. *Forum Geografi*, **22**, 145- 158
- Prasetyo. A. B., Prasetyo. P., & Matahari. I., (2014) Pembuatan A-Fe₂O₃ dari Hasil Pengolahan Bijih Besi Primer Jenis Hematit untuk Bahan Baku Baterai Lithium *Majalah Metalurgi* **29(3)**, 179-190.
- Rohaeti. E., Heryanto, R., Rafi, M., Wahyuningrum, A., & Darusman, K., L. (2011) Prediksi Kadar Flavonoid Total Tempuyung (*Sonchus Arvensis* L.) menggunakan Kombinasi Spektroskopi IR dengan Regresi Kuadrat Terkecil Parsial, *Jurnal Kimia*, **5(2)**.
- RPI2JM. (2015). Rencana Pembangunan Investasi Infrastruktur Jangka Menengah Kabupaten Luwu Utara (2016-2020).
- Setiady, D. & Sianipar, A. (2009). Jenis dan Kandungan Mineral dalam Sedimen Lepas Pantai di Perairan Kabupaten Aceh Utara Provinsi Nangroe Aceh Darussalam. *Geologi Kelautan*. **7(3)**. 151-161.

- Simanjuntak, T.O., Rusmana, E., Surono., & Supandjono, J.B. (1991). Peta Geologi Lembar Malili, Sulawesi Selatan, Skala 1: 250.000. *Pusat Penelitian Dan Pengembangan Geologi. Bandung.*
- Soleman, P. (2011). Identifikasi Gugus Fungsi Dan Kandungan Mineral Lempung Pacitan Dengan Spektroskopi InfraRed (Ir) X-Ray Diffraction (XRD). *Jurnal Photon. 2(1).*
- Sulton, M. I., Hidayat, B., & Subandrio, A. S. (2019) Klasifikasi Jenis Batuan Beku Melalui Citra Berwarna Dengan Menggunakan Metode Local Binary Pattern Dan K-Nearest Neighbor. *Jurnal TEKTRIKA, 4(1).*
- Sunarwan, B. (2010). Pemetaan Tinjau Daerah Alterasi pada Sistem Vein-Epithermal Studi Kasus Daerah Sengon dan Sekitarnya, Kec. Tugu, Kab. Trenggalek-Jawa Timur. *Jurnal Teknologi. 1(17).* 23-35.
- Suseno, E. J., & Firdausi, S. K. (2008) Rancang Bangun Spektroskopi FTIR (Fourier Transform Infrared) untuk Penentuan Kualitas Susu Sapi. *Berkala Fisika. 11(1).* 1410-9662.
- Sutrisno, H., Ariswan., & Purnawaningsih, D. (2018). Qualitative and Quantitative Phase- Analysis Of Undoped Titanium Dioxide and Cromium Doped Titanium Dioxide from Powder X- Ray Diffraction Data. *Indones J Chen. 18(3),* 486-495.
- Trianasari., Manurung, P., & Karo-Karo, P. (2017) Analisis dan Karakterisasi Kandungan Silika (SiO_2) sebagai Hasil Ekstraksi Batu Apung (Pumice). *Jurnal Teori dan Aplikasi Fisika 05(02).*
- Wibowo, S. N., Hidayat, D. I. B., & Arif, D. I. B. (2017), Identifikasi Jenis Batuan Beku Melihat Bentuk Pola Batuan, Metode Dan K-Nearest Neighbor (K-Nn), *e-prosiding Teknik, 4(2).* 2355-9365.
- Widiyastuti, D. A. (2016). Analisa Struktur Batuan Dari Sungai Aranio Kabupaten Banjar Menggunakan X-Ray Difraction. *Jurnal Sains dan Terapan Poloiteknik Hasnur. 04(1).*

L

A

M

P

I

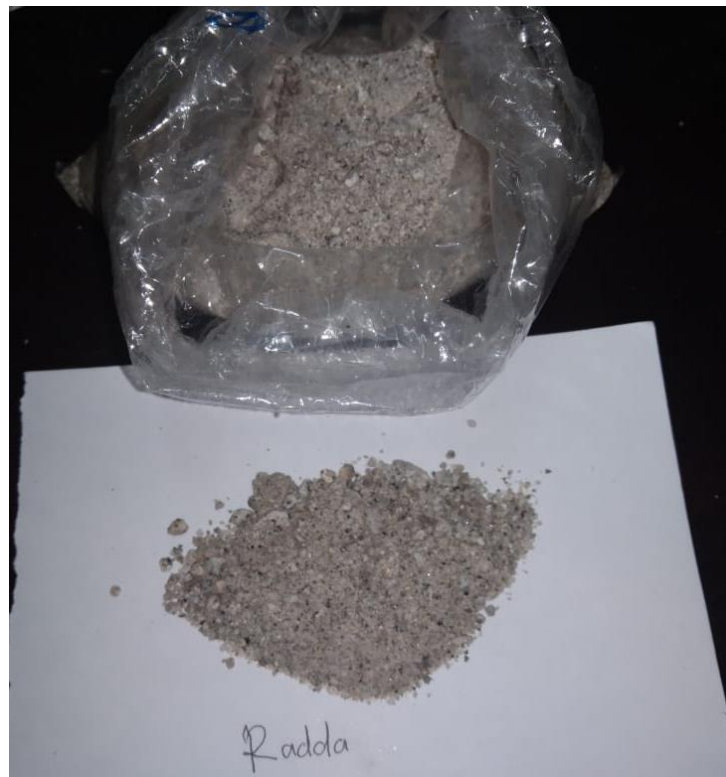
R

A

N

Lampiran 1 Foto sampel

1. Sampel I (Desa Radda)



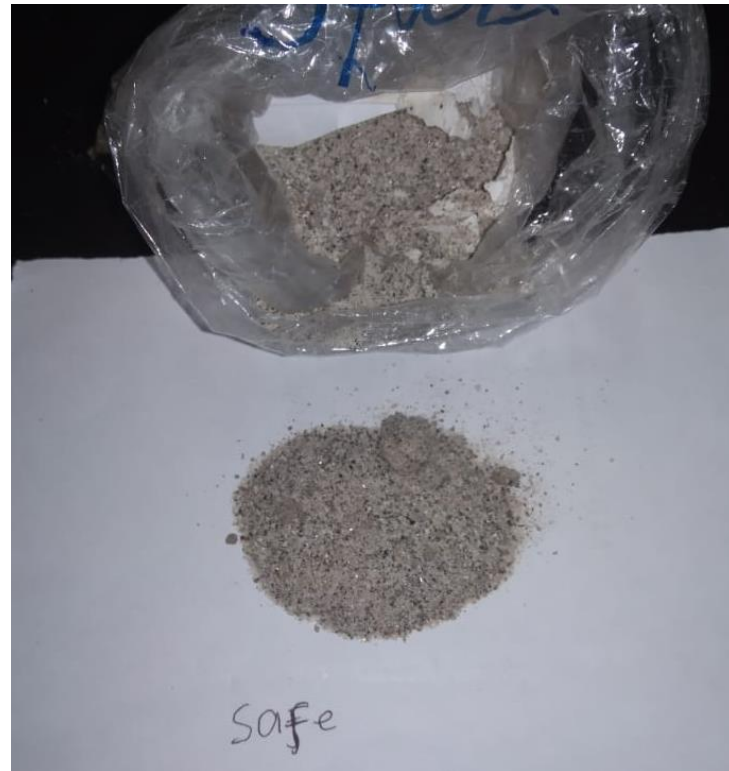
- Koordinat : 199613.82 m E – 9716002.10 m S
- Warna segar : Coklat keabu-abuan
- Warna lapuk : Abu kelam
- Tekstur : Kasar
- Kandungan Mineral : *Quartz, Kalium Oksida, Hematit, Corundum, Kalsium Oksida, Rutile*
- Senyawa kimia : SiO_2 , K_2O , Fe_2O_3 , Al_2O_3 , CaO , TiO_2

2. Sampel II (Desa Meli)



Koordinat	: 201789.09 m E – 9717577.81 m S
Warna segar	: Hitam kecoklatan
Warna lapuk	: Hitam kelam
Tekstur	: Halus
Kandungan Mineral	: <i>Quartz, Kalium Oksida, Hematit, Kalsium Oksida, Rutile</i>
Senyawa kimia	: SiO_2 , K_2O , Fe_2O_3 , CaO , TiO_2

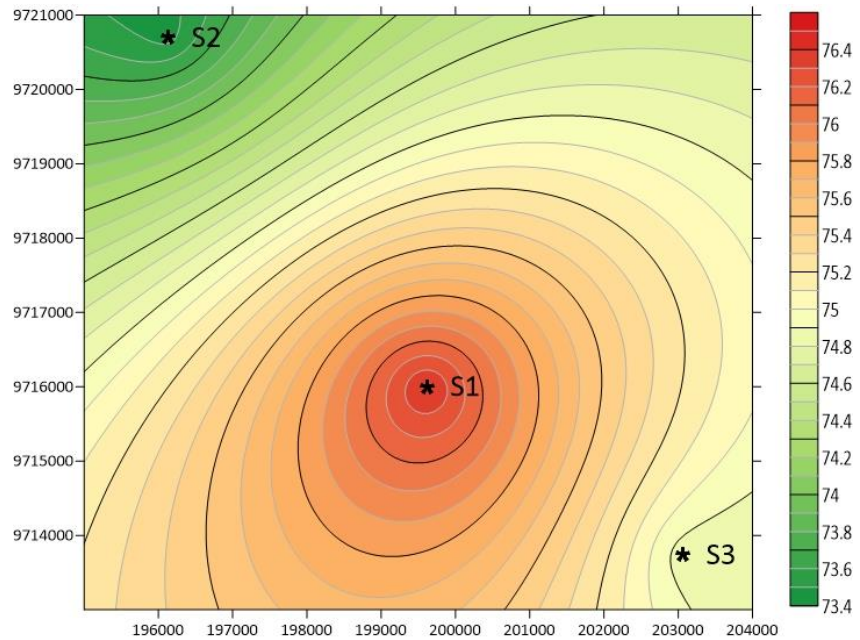
3. Sampel III (Desa Safe)



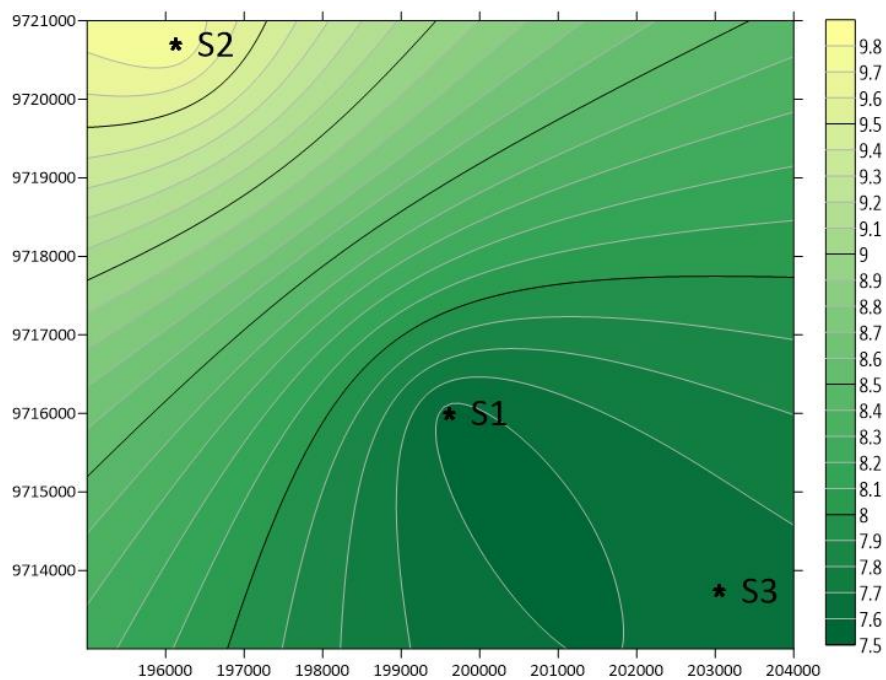
Koordinat	: 203059.19 m E - 9713740.33 m S
Warna segar	: Coklat keabu-abuan
Warna lapuk	: Abu kelam
Tekstur	: Agak Halus
Kandungan Mineral	: <i>Quartz, Kalium Oksida, Hematit, Corundum, Kalsium Oksida, Rutile</i>
Senyawa kimia	: SiO ₂ , K ₂ O, Fe ₂ O ₃ , Al ₂ O ₃ , CaO, TiO ₂

Lampiran 2 Uji Coba Warna

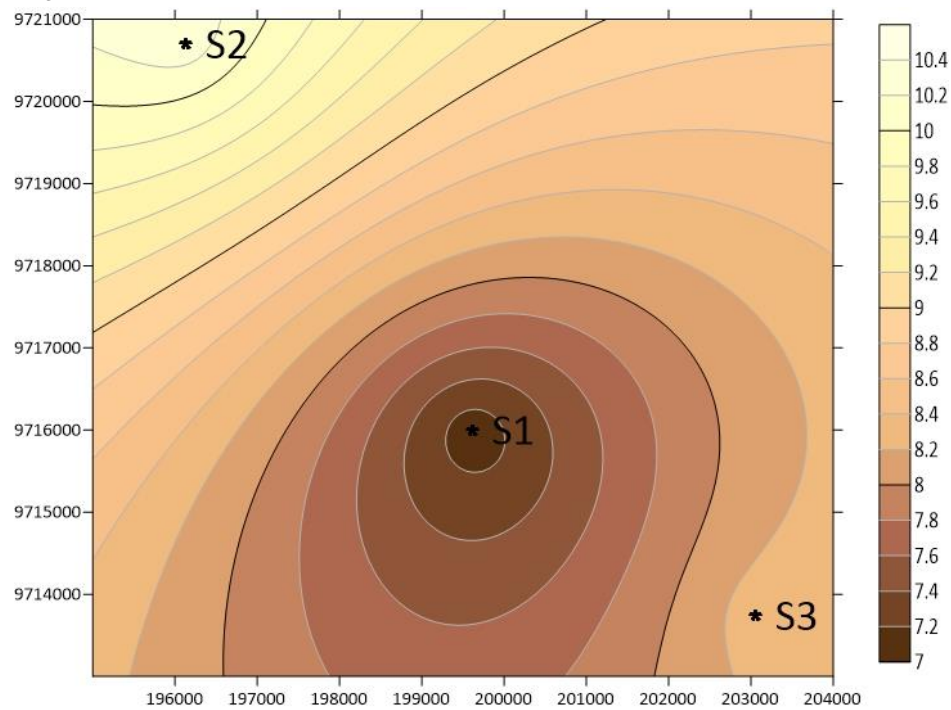
1. SiO₂



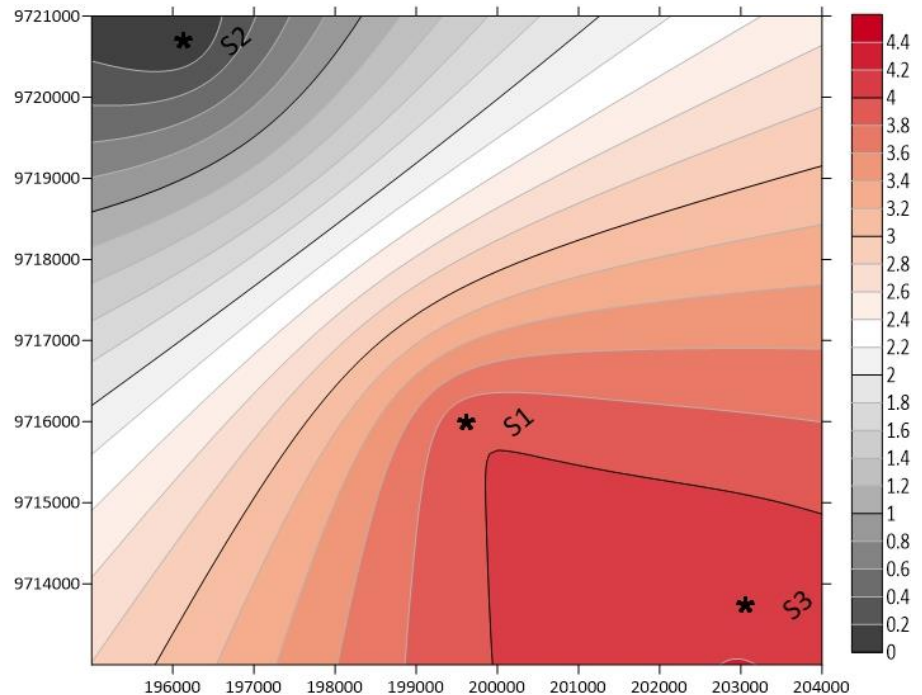
2. K₂O



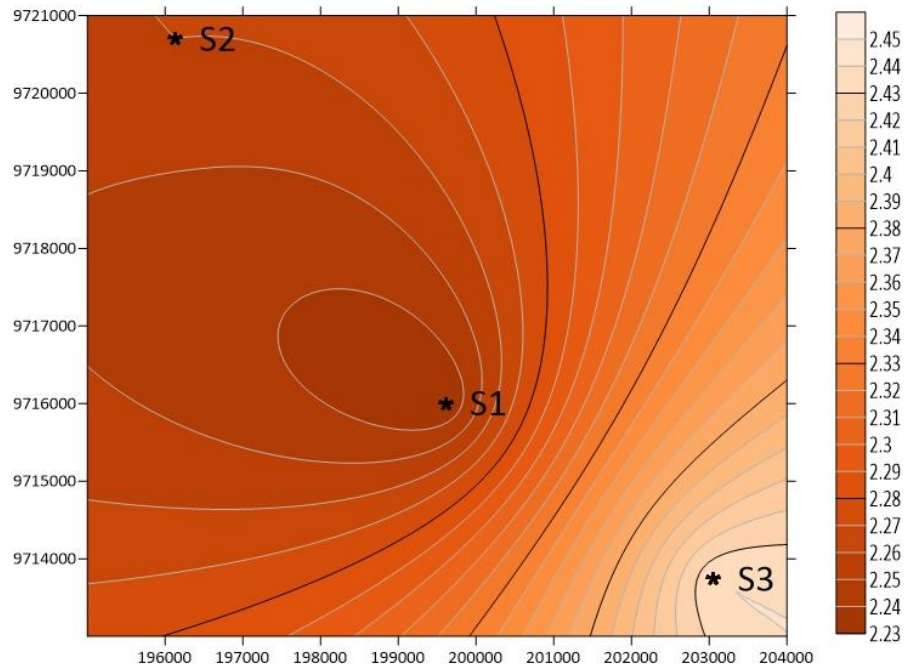
3. Fe_2O_3



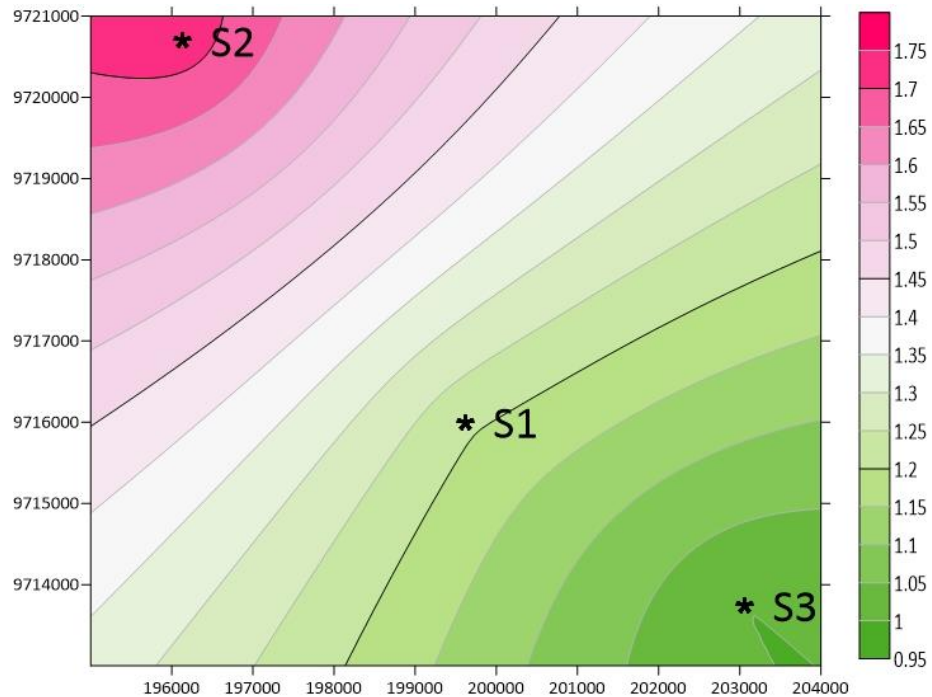
4. Al_2O_3



5. CaO



6. TiO₂



Lampiran 3 Hasil Analisis Metode XRF(*X-Ray Fluorescence*) Desa Radda

SAMPLE ANALYSIS REPORT ARL QUANT'X EDXRF ANALYZER	THERMO FISHER SCIENTIFIC UNIQUANT(TM) STANDARDLESS METHOD
<hr/>	
C:\UQed\USER\Quant'X\Job\JOB.861 2021-10-28	
Radda oks	
Quant'X Rh end window 50kV	
C:\UQed\USER\Quant'X\Appl\AnySampleAir.kap 2008-06-13	
Calculated as : Oxides Matrix (Shape & ImpFe) : 1 Teflon	
X-ray path = Air Film type = No supporting film	
Case number = 0 All known	
Eff.Diam. = 13.0 mm Eff.Area = 132.7 mm ²	
KnownConc = 0 %	
Rest = 0 % Viewed Mass = 1000.000 mg	
Dil/Sample = 0 Sample Height = 7.54 mm	
 Compound m/m% StdErr El m/m% StdErr	
----- -- -----	
SiO ₂ 76.42 1.37 Si 35.73 0.64	
K ₂ O 7.56 0.17 K 6.28 0.14	
Fe ₂ O ₃ 7.06 0.15 Fe 4.94 0.10	
Al ₂ O ₃ 3.97 1.68 Al 2.10 0.89	
CaO 2.29 0.25 Ca 1.64 0.18	
 TiO ₂ 1.21 0.07 Ti 0.726 0.040	
P ₂ O ₅ 0.71 0.19 Px 0.308 0.085	
Rb ₂ O 0.149 0.008 Rb 0.136 0.008	
BaO 0.139 0.038 Ba 0.125 0.034	
MnO 0.127 0.029 Mn 0.099 0.022	
 SrO 0.113 0.008 Sr 0.0955 0.0065	
ZrO ₂ 0.087 0.018 Zr 0.065 0.013	
Nb ₂ O ₅ 0.0592 0.0041 Nb 0.0414 0.0029	
MoO ₃ 0.0362 0.0056 Mo 0.0241 0.0037	
SnO ₂ 0.0211 0.0024 Sn 0.0166 0.0019	
 In ₂ O ₃ 0.0169 0.0013 In 0.0140 0.0010	
RuO ₄ 0.0128 0.0033 Ru 0.0097 0.0025	
Sb ₂ O ₃ 0.0096 0.0036 Sb 0.0080 0.0030	
Rh ₂ O ₃ 0.0080 0.0031 Rh 0.0065 0.0025	
 KnownConc= 0 REST= 0 D/S= 0	
Sum Conc's before normalisation to 100% : 27.9 %	
Total % stripped Oxygen: 47.646	

Metode XRF(*X-Ray Fluorescence*) Desa Meli

SAMPLE ANALYSIS REPORT
ARL QUANT'X EDXRF ANALYZER **THERMO FISHER SCIENTIFIC**
UNIQUANT(TM) STANDARDLESS METHOD

C:\UQed\USER\Quant'X\Job\JOB.863 2021-10-28
Meli Oks

Quant'X Rh end window 50kV
C:\UQed\USER\Quant'X\Appl\AnySampleAir.kap 2008-06-13
Calculated as : Oxides Matrix (Shape & ImpFe) : 1|Teflon
X-ray path = Air Film type = No supporting film
Case number = 0 All known
Eff.Diam. = 13.0 mm Eff.Area = 132.7 mm²
KnownConc = 0 %
Rest = 0 % Viewed Mass = 1000.000 mg
Dil/Sample = 0 Sample Height = 7.54 mm

Compound	m/m%	StdErr		E1	m/m%	StdErr
SiO ₂	73.46	0.36		Si	34.34	0.17
Fe ₂ O ₃	10.33	0.15		Fe	7.23	0.11
K ₂ O	9.79	0.15		K	8.13	0.12
CaO	2.26	0.19		Ca	1.61	0.13
TiO ₂	1.73	0.10		Ti	1.04	0.06
P ₂ O ₅	1.19	0.24		Px	0.52	0.10
BaO	0.266	0.073		Ba	0.238	0.066
Rb ₂ O	0.236	0.012		Rb	0.216	0.011
MnO	0.193	0.039		Mn	0.150	0.031
ZrO ₂	0.162	0.027		Zr	0.120	0.020
SrO	0.147	0.012		Sr	0.124	0.010
Nb ₂ O ₅	0.088	0.012		Nb	0.0615	0.0086
MoO ₃	0.051	0.015		Mo	0.0339	0.0098
SnO ₂	0.0408	0.0046		Sn	0.0321	0.0036
In ₂ O ₃	0.0346	0.0024		In	0.0286	0.0020
Sb ₂ O ₃	0.0195	0.0068		Sb	0.0163	0.0057

KnownConc= 0 REST= 0 D/S= 0
Sum Conc's before normalisation to 100%: 21.5 %
Total % stripped Oxygen: 46.111

Metode XRF(*X-Ray Fluorescence*) Desa Safe

SAMPLE ANALYSIS REPORT
ARL QUANT'X EDXRF ANALYZER

THERMO FISHER SCIENTIFIC
UNIQUANT(TM) STANDARDLESS METHOD

C:\UQed\USER\Quant'X\Job\JOB.862 2021-10-28
SAFE oks

Quant'X Rh end window 50kV
C:\UQed\USER\Quant'X\Appl\AnySampleAir.kap 2008-06-13
Calculated as : Oxides Matrix (Shape & ImpFe) : 1|Teflon
X-ray path = Air Film type = No supporting film
Case number = 0 All known
Eff.Diam. = 13.0 mm Eff.Area = 132.7 mm²
KnownConc = 0 %
Rest = 0 % Viewed Mass = 1000.000 mg
Dil/Sample = 0 Sample Height = 7.54 mm

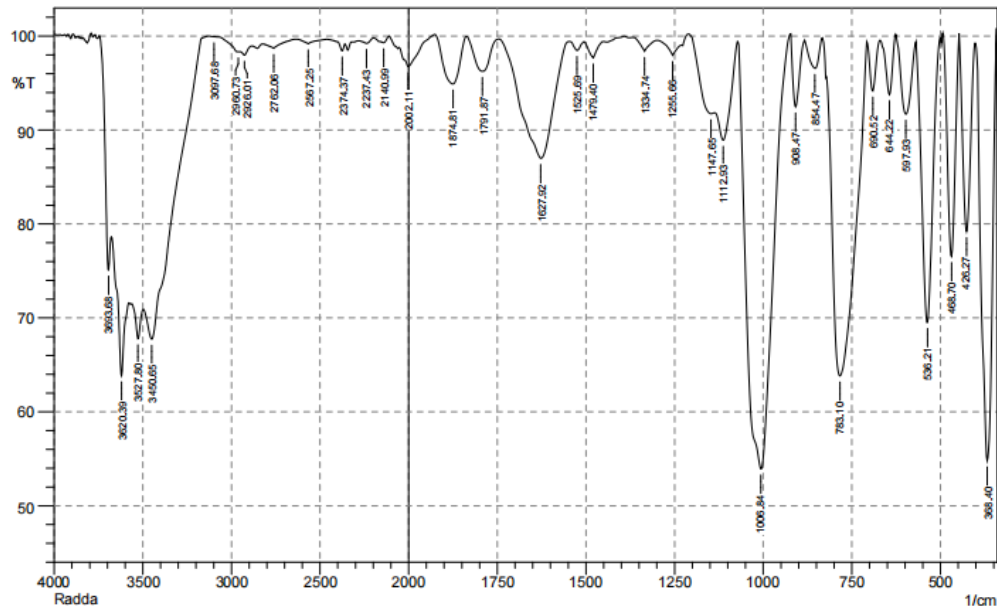
Compound	m/m%	StdErr	El	m/m%	StdErr
SiO ₂	74.84	1.42	Si	34.99	0.66
Fe ₂ O ₃	8.31	0.18	Fe	5.81	0.13
K ₂ O	7.64	0.18	K	6.34	0.15
Al ₂ O ₃	4.18	1.76	Al	2.21	0.93
CaO	2.44	0.25	Ca	1.74	0.18
TiO ₂	1.00	0.10	Ti	0.600	0.063
P ₂ O ₅	0.62	0.20	Px	0.272	0.088
Rb ₂ O	0.172	0.011	Rb	0.157	0.010
ZrO ₂	0.167	0.021	Zr	0.123	0.015
BaO	0.158	0.049	Ba	0.142	0.044
MnO	0.134	0.034	Mn	0.104	0.026
SrO	0.128	0.009	Sr	0.108	0.008
Nb ₂ O ₅	0.0721	0.0051	Nb	0.0504	0.0036
MoO ₃	0.0515	0.0082	Mo	0.0343	0.0055
SnO ₂	0.0269	0.0031	Sn	0.0212	0.0024
In ₂ O ₃	0.0195	0.0016	In	0.0161	0.0013
RuO ₄	0.0183	0.0042	Ru	0.0139	0.0032
Sb ₂ O ₃	0.0135	0.0046	Sb	0.0113	0.0038
Rh ₂ O ₃	0.0099	0.0038	Rh	0.0080	0.0031

KnownConc= 0 REST= 0 D/S= 0
Sum Cone's before normalisation to 100% : 26.9 %
Total % stripped Oxygen: 47.243

Ln 1, Col 1

Lampiran 4 Hasil Analisis Metode FTIR Desa Radda

 SHIMADZU



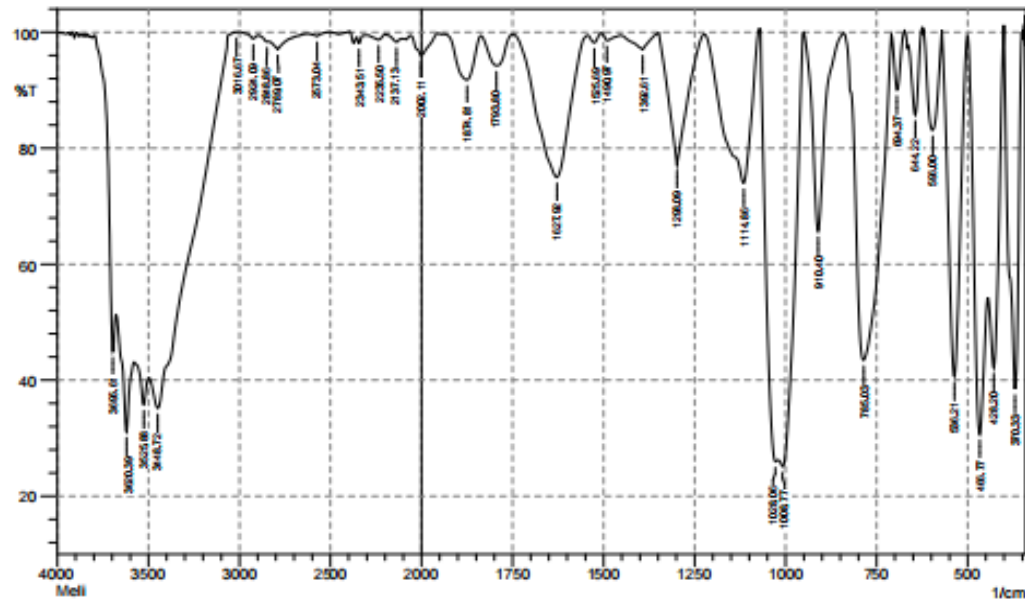
No.	Peak	Intensity	Corr. Intensity	Base (H)	Base (L)	Area	Corr. Area
1	368.4	54.805	44.321	401.19	343.33	8.1547	7.9366
2	426.27	79.205	20.5654	447.49	403.12	2.4011	2.348
3	468.7	76.5647	22.8579	493.78	449.41	2.6586	2.5602
4	536.21	69.5321	30.0822	569	501.49	5.044	4.9341
5	597.93	91.6918	7.9295	624.94	570.93	1.1927	1.0997
6	644.22	93.7678	6.1602	669.3	626.87	0.5637	0.5397
7	690.52	94.1727	5.294	707.88	669.3	0.5107	0.4224
8	783.1	63.836	32.7223	819.75	707.88	13.1148	11.7847
9	854.47	96.5732	3.1401	883.4	833.25	0.4793	0.4125
10	908.47	92.4678	7.5413	921.97	883.4	0.6898	0.6742
11	1006.84	53.9195	45.7927	1070.49	923.9	19.9875	19.8453
12	1112.93	88.9132	5.6926	1136.07	1072.42	2.1803	0.9593
13	1147.65	91.7367	1.2436	1209.37	1138	1.6136	0.3257
14	1255.66	97.9535	1.275	1298.09	1230.58	0.3372	0.1293
15	1334.74	98.3893	1.3197	1369.46	1298.09	0.239	0.1473
16	1479.4	97.6802	1.729	1504.48	1450.47	0.3221	0.1833
17	1525.69	98.4718	0.9439	1548.84	1504.48	0.1897	0.0769
18	1627.92	86.9969	12.5418	1745.58	1548.84	6.0165	5.643
19	1791.87	96.2536	3.5814	1836.23	1745.58	0.8036	0.7375
20	1874.81	94.903	5.1431	1924.96	1838.16	1.1213	1.1444
21	2002.11	96.7635	2.584	2054.19	1924.96	0.965	0.6724
22	2140.99	99.2999	0.3984	2167.99	2108.2	0.1232	0.0519
23	2237.43	99.2298	0.4294	2283.72	2196.92	0.209	0.0765
24	2374.37	98.4301	0.81	2463.1	2358.94	0.3237	0.0576
25	2567.25	99.1938	0.4722	2630.91	2463.1	0.376	0.1315
26	2762.06	98.7123	0.6132	2823.79	2630.91	0.6641	0.1737
27	2926.01	97.9836	0.599	2953.02	2883.58	0.4795	0.0695
28	2960.73	98.3433	0.1037	3072.6	2953.02	0.4405	-0.0172
29	3097.68	99.9362	0.0164	3128.54	3093.82	0.0046	0.0013
30	3450.65	67.7473	6.8464	3496.94	3130.47	29.8801	3.9623
31	3527.8	67.7906	3.3858	3562.52	3498.87	9.9486	0.5564
32	3620.39	63.8491	10.6911	3676.32	3579.88	14.5697	2.4929
33	3693.68	75.1159	8.5589	3743.83	3678.25	4.342	1.0225

Date/Time: 11/11/2021 10:14:09 AM

No. of Scans:

Metode FTIR (*Fourier Transfrom InfraRed*) Desa Meli

 SHIMADZU



No.	Peak	Intensity	Corr. Intensity	Base (H)	Base (L)	Area	Corr. Area
1	370.33	38.4625	60.8305	401.19	352.97	10.6483	10.5737
2	428.2	42.1772	28.3945	443.63	403.12	9.8074	4.4127
3	466.77	30.6941	41.1522	499.56	445.56	16.1666	8.6286
4	536.21	40.6568	59.1799	570.93	501.49	12.2443	12.1907
5	596	83.1104	16.19	621.08	572.86	2.456	2.3078
6	644.22	85.7128	13.1632	661.58	623.01	1.2522	1.1012
7	694.37	90.0472	9.7583	709.8	673.16	0.8013	0.7791
8	785.03	43.4685	49.2762	819.75	709.8	23.4098	20.7204
9	910.4	65.6992	34.1882	950.91	840.96	6.3137	6.2534
10	1008.77	25.1112	13.7098	1020.34	952.84	23.9437	4.851
11	1028.06	25.9795	9.464	1068.56	1022.27	17.0295	3.0187
12	1114.86	73.9889	26.3543	1222.87	1072.42	10.4274	10.5194
13	1298.09	77.1455	22.6336	1348.24	1224.8	5.9278	5.7971
14	1392.61	96.9984	2.7044	1454.33	1348.24	0.7089	0.5566
15	1490.97	98.5773	1.1773	1506.41	1454.33	0.2045	0.1303
16	1525.69	98.1738	1.4723	1543.05	1506.41	0.1722	0.1176
17	1627.92	74.9854	24.5245	1747.51	1544.98	11.9226	11.5038
18	1793.8	94.2389	5.2395	1836.23	1749.44	1.2828	1.0876
19	1874.81	91.7621	7.6878	1938.46	1838.16	1.995	1.772
20	2002.11	95.9953	3.6406	2058.05	1955.82	1.0403	0.8717
21	2137.13	98.2911	0.8238	2185.35	2108.2	0.3966	0.1263
22	2235.5	98.6966	0.8595	2295.29	2198.85	0.3731	0.1797
23	2343.51	98.0633	1.1339	2355.08	2310.72	0.2133	0.0741
24	2573.04	99.3147	0.5478	2627.05	2505.53	0.1645	0.1009
25	2789.07	97.0476	1.6573	2839.22	2627.05	1.2791	0.4152
26	2848.86	98.3553	0.2119	2897.08	2839.22	0.2804	0.008
27	2924.09	98.8899	0.7219	3001.24	2897.08	0.2139	0.1029
28	3016.67	99.9865	0.0276	3024.38	3001.24	-0.0012	0.0011
29	3448.72	35.1571	11.3382	3496.94	3024.38	99.0892	6.1197
30	3525.88	35.7862	5.5363	3577.95	3498.87	31.6663	1.6236
31	3620.39	31.1313	15.3659	3676.32	3579.88	37.9245	6.2033
32	3695.61	44.9365	13.556	3793.98	3678.25	14.3812	1.8524

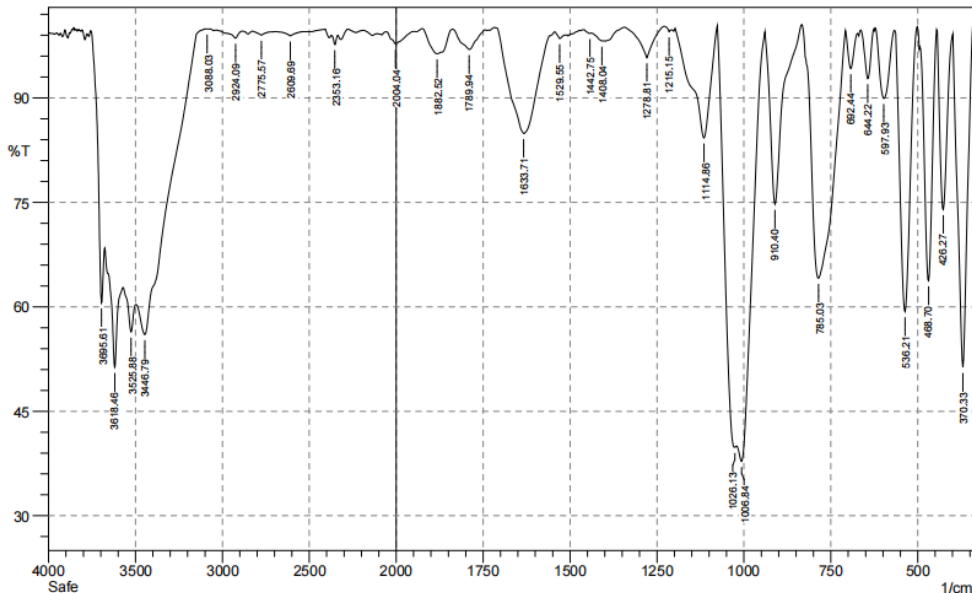
Date/Time; 11/11/2021 10:20:54 AM

No. of Scans;

Resolution;

Metode FTIR (*Fourier Transfrom InfraRed*) Desa Safe

 SHIMADZU



No.	Peak	Intensity	Corr. Intensity	Base (H)	Base (L)	Area	Corr. Area
1	370.33	51.322	47.8519	399.26	343.33	7.7743	7.5728
2	426.27	73.974	25.271	443.63	401.19	2.9258	2.7696
3	468.7	63.7611	34.6317	491.85	445.56	4.5425	4.2267
4	536.21	59.3125	40.5147	565.14	503.42	6.6124	6.5716
5	597.93	89.9495	9.9246	621.08	567.07	1.3966	1.3612
6	644.22	92.7776	7.0163	663.51	626.87	0.6014	0.5682
7	692.44	94.2045	5.2749	707.88	673.16	0.4985	0.4166
8	785.03	64.1057	36.0913	833.25	707.88	12.6733	12.7204
9	910.4	74.7502	25.0191	939.33	835.18	4.6845	4.6824
10	1006.84	37.8147	12.2374	1020.34	941.26	17.0885	2.3863
11	1026.13	39.8271	4.4773	1076.28	1022.27	12.5561	1.6306
12	1114.86	84.2665	15.6953	1197.79	1078.21	4.2836	4.2681
13	1215.15	99.5087	0.4587	1228.66	1207.44	0.0076	0.0108
14	1278.81	95.793	4.4309	1342.46	1228.66	0.7108	0.8174
15	1408.04	98.1945	0.0746	1438.9	1406.11	0.1791	0.0012
16	1442.75	99.2594	0.1442	1460.11	1438.9	0.0504	0.0095
17	1529.55	98.5373	0.7229	1543.05	1516.05	0.1283	0.0412
18	1633.71	84.8937	14.8997	1710.86	1544.98	6.0006	5.8342
19	1789.94	96.9635	2.8549	1838.16	1745.58	0.6735	0.6012
20	1882.52	96.3519	1.0561	1924.96	1869.02	0.592	0.1669
21	2004.04	97.7713	1.7484	2054.19	1950.03	0.6307	0.4134
22	2353.16	97.6566	1.3527	2372.44	2335.8	0.2538	0.0954
23	2609.89	98.9201	0.6075	2692.63	2528.68	0.4845	0.1474
24	2775.57	99.0119	0.5366	2827.64	2692.63	0.3725	0.1083
25	2924.09	98.5975	0.8735	2980.02	2883.58	0.3666	0.1343
26	3088.03	99.8875	0.0131	3097.68	3076.46	0.0097	0.0005
27	3446.79	56.0192	9.1096	3495.01	3097.68	46.2997	5.4723
28	3525.88	56.3873	4.9101	3570.24	3496.94	16.5125	1.0429
29	3618.46	51.3243	12.5473	3657.04	3572.17	19.3503	2.7572
30	3695.61	60.5933	14.6622	3757.33	3678.25	8.0278	1.8421

Comment:

Safe

Date/Time: 11/11/2021 10:27:38 AM

No. of Scans:

Resolution:

Apodization: